

# ساخت، ساختارشناسی و خواص نوری نقاط کوانتموی گرافن و بررسی امکان استفاده از آن به عنوان یک حساس‌کننده نوری در درمان سرطان به روش فوتوداینامیک تراپی

## خلاصه

**اهداف:** هدف از این مطالعه، تهیه نانوساختارهای نقاط کوانتموی گرافن آلائیده شده با نیتروژن با استفاده از روش ساده و مقرن به صرفه است که توانایی تولید گونه‌های اکسیژن فعال تحت تابش نور را داشته باشد تا بتوان از آن به عنوان یک حساس‌کننده نوری کارامد در درمان فوتوداینامیکی استفاده کرد.

**مقدمه:** درمان فوتوداینامیکی به بررسی روش‌هایی برای بهبود درمان در پزشکی می‌پردازد. تاکنون مواد مختلفی برای استفاده در درمان فوتوداینامیکی پیشنهاد شده‌اند. این مطالعه به بررسی امکان‌سنجی نقاط کوانتموی گرافن آلائیده شده با نیتروژن به عنوان یک حساس‌کننده نوری در درمان سرطان به روش فوتوداینامیک تراپی می‌پردازد.

**مواد و روش‌ها:** نقاط کوانتموی گرافن آلائیده شده با نیتروژن به روش هیدروترمال و با استفاده از مواد ارزان قیمت (اسید سیتریک و اوره) تهیه شد. تولید گونه‌های اکسیژن فعال از جمله اکسیژن یگانه و رادیکال هیدروکسیل توسط نقاط کوانتموی تحت تابش نور مرئی با استفاده از آنتراسن و متیلن‌بلو به ترتیب به عنوان معرف‌های شیمیایی برای شناسایی اکسیژن یگانه و رادیکال هیدروکسیل مورد بررسی قرار گرفت.

**یافته‌ها:** نتایج نشان داد که کاهش شدت جذب متیلن‌بلو و آنتراسن در حضور نقاط کوانتموی گرافن آلائیده شده با نیتروژن تحت تابش نور مرئی، بیشتر از میزان اندازه‌گیری شده برای نقاط کوانتموی گرافن بدون آلایش با نیتروژن بود که نشان‌دهنده افزایش تولید اکسیژن یگانه و رادیکال هیدروکسیل با آلایش نیتروژن در نقاط کوانتموی گرافن است. با این حال، هیچ کاهشی در شدت جذب معرف‌های آنتراسن و متیلن‌بلو در حضور نقاط کوانتموی گرافن آلائیده شده با نیتروژن و بدون تابش نور مشاهده نشد که نشان‌دهنده عدم تولید گونه‌های اکسیژن فعال به واسطه نانوساختار نقاط کوانتموی گرافن آلائیده شده با نیتروژن (بدون پرتودهی) است که می‌تواند در کاربردهای پزشکی مهم باشد.

**نتیجه‌گیری:** نقاط کوانتموی گرافن آلائیده شده با نیتروژن با توانایی تولید گونه‌های اکسیژن

مژگان رستمی<sup>۱</sup>

احسان صادقی<sup>۲،۱</sup>

مصطفی زاهدی فر<sup>۲،۱</sup>

۱. پژوهشکده علوم و فناوری نانو، دانشگاه کاشان، کاشان، ایران

۲. دانشکده فیزیک، دانشگاه کاشان، کاشان، ایران

۳. دانشکده فیزیک، دانشگاه کاشان، کاشان، ایران

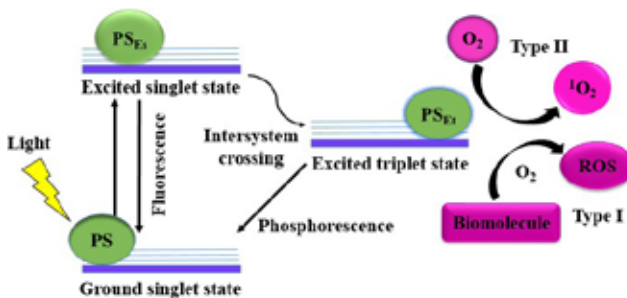
فعال و عدم سمتی در تاریکی می‌تواند به عنوان حساس‌کننده نوری کارآمد در درمان سرطان با استفاده از روش فتودانیمیک تراپی استفاده شوند.

**واژه‌های کلیدی:** فتودانیمیک تراپی؛ نانوساختار؛ گونه‌های اکسیژن فعال؛ فوتولومینسانس؛ نقاط کوانتومی گرافن؛ حساس‌کننده نوری

نویسنده مسئول: احسان صادقی  
s d g h @ kashanu.ac.ir  
پست الکترونیک

## مقدمه

علاوه بر این، GQDs در مقایسه با پروتوبورفیرین IX (یک حساس‌شونده به نور کلاسیک) و نقاط کوانتومی CdTe (نقاط کوانتومی نیمه‌هادی مرسوم) پایداری نوری بهتری نشان می‌دهند و همچنین از پایداری pH خوبی نیز برخوردارند که برای کاربردهای زیست‌پزشکی ضروری است [۱۱-۱۲]. علاوه بر این گزارش شده که آلایش GQDs با اتم‌های نیتروژن منجر به افزایش تولید اکسیژن یگانه، فعالیت کاتالیزوری بیشتر و پایداری خوب GQDs می‌شود [۱۴ و ۱۵]. تحقیقات نشان داده است که GQDs تحت تابش فرابنفش می‌تواند سلول‌های سرطانی را از بین برد. با این وجود شکاف اثری وسیع آن‌ها باعث بازترکیب جفت الکترون-حفره‌های نوری تولید شده و کاهش فعالیت فتوکاتالیستی می‌شود [۱۶]. بدین‌منظور در این مطالعه برای غلبه بر این مشکل از آلایش GQDs با اتم‌های نیتروژن استفاده شد که منجر به کاهش شکاف اثری، افزایش شدت جذب نور در ناحیه مرئی و مادون قرمز نزدیک، کاهش بازترکیب جفت الکترون-حفره و افزایش تولید ROS می‌شود. این گونه‌ها نقش کلیدی در درمان فتودانیمیکی دارند و افزایش تولید آن‌ها منجر به افزایش کارایی درمان می‌شود. بداین‌ترتیب در این مطالعه نقاط کوانتومی گرافن آلائیده شده با نیتروژن<sup>۴</sup> (N-GQDs) به عنوان ماده حساس‌به‌نور در درمان سرطان معرفی می‌شود که دارای ویژگی‌هایی از جمله هزینه تولید پایین، سمتی کم و توانایی تولید ROS بالا است که به معنای کاربرد عملی آن در زمینه زیست‌پزشکی است.



شکل ۱. طرح واره سازوکار تولید اکسیژن یگانه توسط ماده حساس‌به‌نور

### 4. Nitrogen-doped graphene quantum dots

درمان فتودانیمیکی تومورها ترکیبی از یک منبع نور و تجویز موضعی یک عامل حساس‌به‌نور<sup>۱</sup> است که ترجیحاً داخل تومور قرار می‌گیرد و برای درمان موضعی بافت غیرطبیعی مانند سرطان استفاده می‌شود. حساس‌به‌نور فعال شده توسط نور با انتقال انرژی به اکسیژن مولکولی، گونه‌های اکسیژن فعال<sup>۲</sup> (ROS) تولید می‌کند (شکل ۱) که ماکرومولکول‌های اصلی سلولی را اکسید می‌کند و منجر به تخریب سلول‌های تومور می‌شود [۱-۳]. علاوه بر این درمان فتودانیمیکی بهدلیل مزایایی همچون ماهیت غیرتهاجمی، سمتی ناچیز و عوارض جانبی کمتر نسبت به روش‌های مرسوم درمان سرطان (رادیوتراپی، جراحی و شیمی‌درمانی) برتری دارد [۴ و ۵]. علیرغم اینکه این روش از نظر بالینی برای برخی درمان‌های سرطان تأیید شده است، عوامل حساس‌به‌نور همچنان با مسائل چالش برانگیز مختلفی از جمله هزینه بالا، اندازه ذرات بزرگ و پایداری نوری ضعیف مواجه هستند [۶ و ۷]. تاکنون، مواد مختلفی به عنوان حساس‌به‌نور توسعه یافته‌اند، از جمله عوامل حساس‌به‌نور آلی (فتالوکسیانین‌ها و پورفیرین) که کاربردهای فعلی آنها عمدتاً بهدلیل معايب آن‌ها مانند پایداری نوری ضعیف و پراکندگی ضعیف در آب ضعیف محدود شده است [۸]. با این حال، نقاط کوانتومی نیمه‌هادی جایگزین از نظر قابلیت پراکندگی در آب و پایداری نوری نسبت به عوامل حساس‌به‌نور آلی برتر هستند، اما کاربردهای بالینی آن‌ها نیز بهدلیل راندمان پایین تولید ROS و سمتی سلولی محدود شده است [۹]. در همین حال، نقاط کوانتومی گرافن<sup>۳</sup> (GQDs) بهدلیل خواص مطلوب خود مانند لومینسانس وابسته به طول موج و اندازه، سهولت تولید، انجام پذیری خوب در آب، پایداری نوری بالا، سمتی کم و زیست‌سازگاری بسیار مورد توجه قرار گرفته‌اند و دارای طیف گسترده‌ای از کاربردها در زمینه‌های زیست‌پزشکی، تصویربرداری زیستی و حسگرهای زیستی هستند. براین اساس، GQDs در حال حاضر به عنوان جایگزینی برای نقاط کوانتومی نیمه‌هادی مرسوم در نظر گرفته می‌شوند [۱۰].

#### 1. Photosensitizer

#### 2. Reactive oxygen species

#### 3. Graphene quantum dots

## مواد و روش‌ها

### مواد

اسید سیتریک ( $\text{CO}(\text{NH}_2)_2\text{H}_2\text{O}$ )، پودر اوره ( $\text{C}_6\text{H}_8\text{O}_7\text{H}_2\text{O}$ )، اتانول ( $\text{C}_2\text{H}_6\text{O}$ ) و آنتراسن ( $\text{C}_{14}\text{H}_{10}$ ) از شرکت Merck آلمان تهیه شد. متیلن بلونیز از شرکت Sigma-Aldrich تهیه شد. علاوه براین، آب دیونیزه در تمام مراحل شستشو و تهیه محلول‌های آبی استفاده شد.

### ساخت نقاط کوانتموی گرافن آلائیده‌شده با نیتروژن

برای تهیه نقاط کوانتموی گرافن آلائیده‌شده با نیتروژن از اوره و اسید سیتریک به ترتیب به عنوان منابع نیتروژن و کربن استفاده شد. ابتدا  $0.18\text{ g}$  اوره و  $0.15\text{ g}$  اسید سیتریک در  $12\text{ mL}$  لیتر آب دیونیزه در دمای اتاق و به مدت  $10\text{ min}$  توسط همزن مغناطیسی حل شد. سپس محلول حاصل درون یک اتوکلاو ریخته شد و به مدت  $8\text{ min}$  در دمای  $160^\circ\text{C}$  درجه سانتی‌گراد، در یک آون الکتریکی حرارت داده شد. پس از اینکه محلول به دمای اتاق رسید،  $10\text{ mL}$  لیتر اتانول به آن اضافه شد و به مدت  $20\text{ min}$  دقيقه سانتریفیوژ ( $10000\text{ rpm}$ ) شد. در نهایت مایع رویی محلول که حاوی نقاط کوانتموی گرافن است در یک آون الکتریکی در دمای  $60^\circ\text{C}$  خشک شد. به عنوان بهینه‌سازی مقدار نیتروژن در دست‌یابی به بیشترین مقدار تولید ROS، در هنگام تهیه نقاط کوانتموی مقدار اوره را از  $0.18\text{ g}$  تا  $0.1\text{ g}$  تغییر کرد. طرحواره‌ای از مراحل ساخت در شکل ۲ نشان داده شده است.

### دستگاه‌های مورد استفاده

X'PertPro (XRD) توسط دستگاه Panalytical, Holland با استفاده از پرتونگاری  $\text{CuK}_\alpha$  و تحت شرایط کاری  $40\text{ kV}$  و  $30\text{ mA}$  ثبت شد. طیفسنج Magna-550 (FTIR) توسط طیفسنج Nicolet, USA با روش قرص KBr انجام شد. طیف جذب UV-vis (فرابنفش-مرئی) با استفاده از طیفسنج Shimadzu, Japan به دست آمد. مطالعه طیفسنجی فوتولومینسانس Perkin-Elmer (مدل: LS55) تحت تحریک با لامپ زنون انجام شد. علاوه براین، میکروسکوپ الکترونی روبشی گسیل میدانی (FESEM) (مدل: Mira3) (TESCAN) با ولتاژ شتاب‌دهنده  $25\text{ kV}$  کیلوولت برای بررسی مورفولوژی سطح و توزیع اندازه N-GQDs استفاده شد.

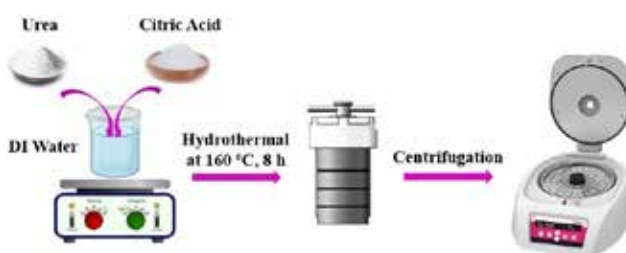
## یافته‌ها

### آنالیز نوری

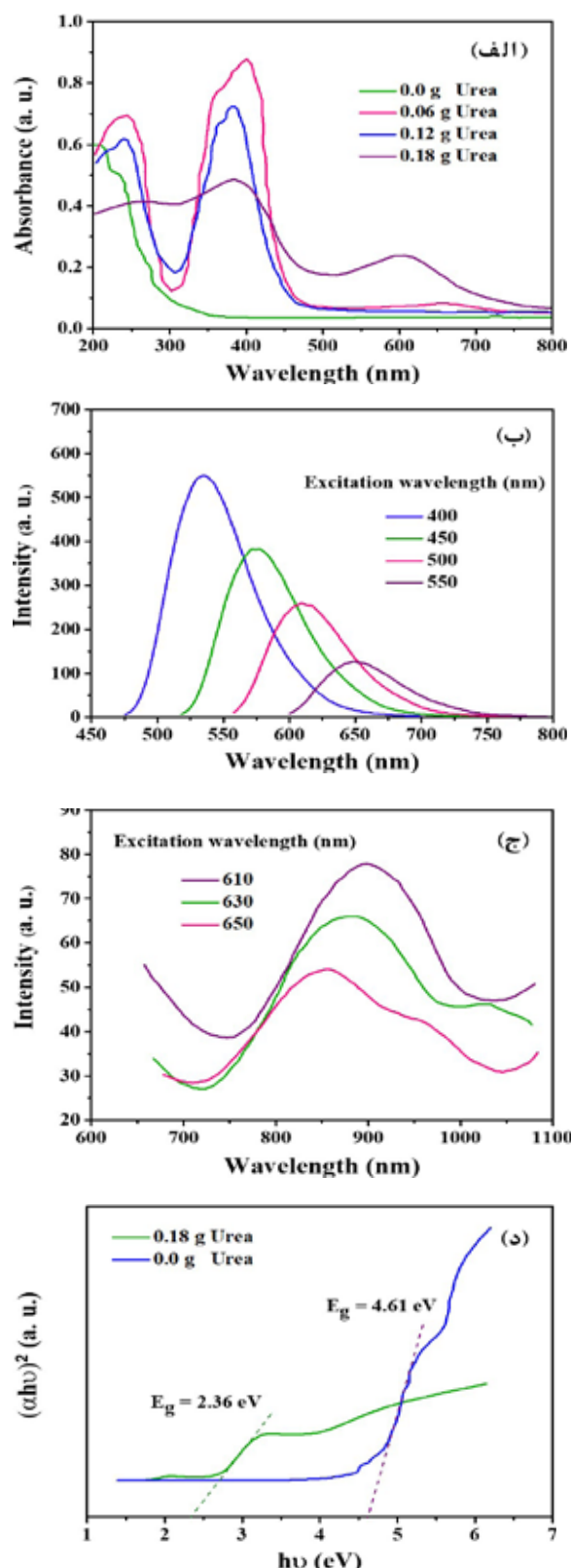
به منظور بررسی خواص نوری نمونه‌ها، طیفسنجی جذب فرابنفش-مرئی (UV-vis) و فوتولومینسانس انجام شد.

شکل ۳ (الف) طیف جذب UV-vis محلول نقاط کوانتموی گرافن آلائیده‌شده با نیتروژن با مقادیر مختلف اوره را نشان می‌دهد. مشاهده می‌شود که آلایش با نیتروژن (افزوختن اوره) منجر به پیدایش قله‌های جدید و افزایش شدت جذب در ناحیه مرئی و مادون قرمز نزدیک  $1000\text{ nm}$  (NIR) شده است. حضور قله‌ها در طول موج‌های  $241\text{ nm}$  و  $380\text{ nm}$  به ترتیب به گذار  $\pi-\pi^*$  پیوند آروماتیک  $\text{C}=\text{C}$  و گذار  $n-\pi^*$  پیوند C-N مربوط می‌شود [۱۷]. جذب ناحیه NIR و قله ظاهر شده در طول موج  $610\text{ nm}$  نانومتر به تشکیل الکترون‌های  $\pi$  مزدوج جزئی در N-GQDs با آلایش زیاد نیتروژن ارتباط دارد. رابطه بین الکترون‌های  $\pi$  و حوزه‌های  $11$  ماکرومولکولی بزرگ با سازوکار جذب NIR در اسید گرافن گزارش شده است [۱۸ و ۱۹]. این قله‌ها می‌توانند منجر به سرعت بالاتر فعالیت فوتولکتالیستی N-GQDs شوند. همچنین همان‌طور که شکل ۳ (الف) نشان می‌دهد نمونه با بیشترین مقدار اوره، شدت قله بالاتری در ناحیه مرئی داشت، مقادیر بیشتر اوره (بیش از  $0.18\text{ g}$ ) نیز تهیه شد که ترکیب ماده را مختلط کرد و منجر به تشکیل ذراتی شد که نقطه کوانتموی نبودند. هدف از این تحقیق افزایش جذب ساختار نقاط کوانتموی گرافن در ناحیه مرئی بود که با آلایش نیتروژن بررسی شد. با این ترتیب می‌توان تحریک را با فوتون‌های با انرژی کمتر انجام داد و تا حد امکان از نور مرئی در کاربردهای فوتودینامیکی استفاده کرد و درنتیجه از اثرات مخرب سایر طول موج‌ها (فرابنفش، ایکس، ایکس) اجتناب ورزید. بنابراین نمونه با بیشترین میزان شدت جذب در ناحیه مرئی به عنوان نمونه بهینه انتخاب و آنالیزهای بعدی با استفاده از آن انجام شد.

شکل ۳ (ب و ج) طیف فوتولومینسانس N-GQDs با طول موج‌های تحریک مختلف را نشان می‌دهد. همان‌طور که مشاهده می‌شود طیف فوتولومینسانس نشان‌دهنده انتشار وابسته به تحریک است. تحریک



شکل ۲. طرحواره‌ای از مراحل ساخت نقاط کوانتموی گرافن آلائیده شده با نیتروژن



شکل ۳. الف. طیف جذب UV-vis نقاط کوانتومی گرافن آلانیده شده با نیتروژن با مقدار مختلط اوره، ب و ج. طیف نشر فوتولومینسانس N-GQDs. تهیه شده با ۰/۱۸ گرم اوره با طول موج های تحریک مختلف، د. محاسبه شکاف انرژی نقاط کوانتومی گرافن آلانیده شده با نیتروژن با ۰/۱۸ گرم اوره و بدون آالیش نیتروژن

با طول موج های ۴۰۰-۵۵۰ نانومتر منجر به انتشار فوتولومینسانس با طول موج های ۵۲۰-۶۵۰ نانومتر شد (شکل ۳ ب) و تحریک با طول موج های ۶۱۰-۶۵۰ نانومتر به نشر فوتولومینسانس در طول موج حدود ۸۷۰ نانومتر انجامید (شکل ۳ ج) که به آالیش نیتروژن نسبت داده می شود و سطوح انرژی جدیدی را در میان شکاف انرژی N-GQDs ایجاد می کند. به طور کلی، جذب نور مرئی در ساختار NIR نوار الکترون های برانگیخته می شود و انتشار فوتولومینسانس مربوط به پیوندهای جدید شده بین کربن و نیتروژن است، زیرا الکترون های  $\pi$  برای برانگیختگی به انرژی کمتری نیاز دارند. در نمای ساختار نواری، حضور نیتروژن منجر به ایجاد حالت های انرژی جدید برای زوج های الکترون-حفره می شود. این حالات انرژی جدید می توانند احتمال بازتر کیب الکترون-حفره را تغییر دهند. بنابراین فوتون های ساطع شده طیف وسیع تری از طول موج ها را پوشش خواهند داد.

همچنین برای بررسی تأثیر آالیش نیتروژن بر شکاف انرژی نقاط کوانتومی گرافن، شکاف انرژی با استفاده از رابطه تاؤک [۲۰] محاسبه شد (شکل ۳ د). مقادیر شکاف انرژی برای نقاط کوانتومی گرافن آلانیده شده با نیتروژن و بدون آالیش به ترتیب ۲/۳۶ و ۴/۶۱ الکترون-ولت محاسبه شد که نشان می دهد آالیش با نیتروژن منجر به کاهش شکاف انرژی نقاط کوانتومی گرافن می شود. در واقع کاهش شکاف انرژی منجر به افزایش جذب نور و گسترش دامنه پاسخ نوری N-GQDs می شود. این نتایج ارتباط بین آالیش نیتروژن و انتقال قرمز قله جذب در شکل ۳ الف) را نیز تأیید می کند.

### شناسایی و اندازه گیری ROS تحت تابش نور مرئی

ROS، مولکول های حاوی اتم های اکسیژن است که به دلیل غلظت های پایین و طول عمر کوتاه در محلول های آبی، به راحتی با روش های مستقیم قابل شناسایی نیستند. به دلیل نقش ROS (از جمله اکسیژن یگانه  $^{1}\text{O}_2$ ) و رادیکال هیدروکسیل  $^{1}\text{OH}$ ) در نابودی سلول های سرطانی و همچنین در اثربخشی فوتوداینامیک تراپی، شناسایی و اندازه گیری آن از اهمیت بالایی برخوردار است. استفاده از روش های غیرمستقیم منجر به واکنش یک ROS خاص با یک شناساگر شیمیایی، به منظور تولید یک آنالیت با عمر طولانی تر می شود. هنگامی که ماده حساس به نور،  $^{1}\text{O}_2$  تولید می کند، آنتراسن (به عنوان یک شناساگر شیمیایی) با  $^{1}\text{O}_2$  واکنش می دهد و به آنتراسن تبدیل می شود. از آنجایی که نشر و جذب آنتراسن با آنتراسن متفاوت است، مصرف آنتراسن منجر به کاهش شدت جذب یا نشر می شود و درنتیجه ابزاری برای تخمین میزان تولید  $^{1}\text{O}_2$  فراهم می شود [۲۱]. بدین ترتیب کاهش شدت جذب یا نشر آنتراسن در حضور ماده حساس به نور، نشان دهنده توانایی تولید  $^{1}\text{O}_2$  حساس کننده تحت تابش نور

12. Singlet oxygen

13. Hydroxyl radical

ساخت، ساختارشناسی و خواص نوری نقاط کوانتمی گرافن و بررسی امکان استفاده از آن به عنوان ...

مقدار مختلف اوره شد که در اینجا بررسی شده است.

تولید ROS یک نیاز ضروری برای عوامل حساس به نور مورد استفاده در درمان فوتوداینامیکی است، به طوری که افزایش تولید آن‌ها توسط عوامل حساس به نور، منجر به افزایش کارایی درمان فوتوداینامیکی می‌شود. توانایی تولید ROS بالاتر N-GQDs تهیه شده با مقدار ۱/۸ گرم اوره را می‌توان به جذب گستردۀ، کاهش شکاف انرژی و کاهش بازترکیب الکترون-حفره در آن نسبت داد. درواقع آلایش با نیتروژن، سطوح انرژی غیرمحلي<sup>۱۴</sup> ایجاد می‌کند [۲۴]. سطوح جدید ایجاد شده توسط نیتروژن، شکاف انرژی را کوچکتر می‌کند و به فوتون‌های با انرژی کمتر کمک می‌کند تا در این فرآیند شرکت کنند، بنابراین منجر به ایجاد حفره‌های بیشتری می‌شود که می‌توانند الکترون‌های متینل بلو را به دام بیندازند.

بهطور کلی، الکترون های تولید شده می توانند مولکول های  $O_2$  را به دام بیاندازند و  $O_2^+$  تولید کنند. از طرف دیگر، حفره ها می توانند بهطور کامل در فرآیند اکسیداسیون مولکول های آب در گیر شوند که منجر به تولید  $OH^-$  بیشتر می شود [۲۱].

از سوی دیگر طیف جذب آنتراسن و متیلنبلو در حضور N-GQDs تهیه شده با مقدار  $18 \text{ mg}$  اوره، پس از ۲ ساعت قرار گرفتن در تاریکی (بدون تابش نور) نیز اندازه گیری شد (شکل ۴ ج و د). همان طور که شکل نشان می‌دهد هیچ کاهشی در شدت جذب آنتراسن و متیلنبلو، بدون تابش نور مشاهده نشد که نشان می‌دهد N-GQDs قادر به تولید  $\text{OH}^-$  و  $\text{O}_2^-$  بدون تابش نور نیست. این نتیجه عدم سمتی N-GQDs (عدم تولید گونه‌های فعال بدون نوردهی) تهیه شده را تأیید می‌کند. بدین ترتیب با توجه به توانایی تولید ROS بالا و عدم سمتی در تاریکی N-GQDs، می‌توان از آن به عنوان حساس‌کننده سوری در درمان فوتوداینامیکی استفاده کرد.

## خواص ساختاری، شیمیایی، ترکیبی و مورفولوژیکی

ساختر بلوری نقاط کوانتمی گرافن آلائیدشده با نیتروژن توسط XRD مورد بررسی قرار گرفت (شکل ۵ الف). قله وسیع متمرکز در  $260\text{--}26\theta$  (مربوط به صفحه بلوری ۲۰۰) است که با آرایش صفحات گرافن مانند ارتباط دارد و ساختار گرافیتی N-GQDs را تأیید می‌کند. گستردگی قله پراش ناشی از اندازه کوچک و ساختار آمورف N-GQDs است [۲۵]. برای بررسی گروههای عاملی و نوع پیوندهای شیمیایی نیز از طیف‌سنجی تبدیل فوریه مادون قرمز (FTIR) استفاده شد (شکل ۵ ب). در این طیف، نوار جذب گستردگ در  $3418\text{ cm}^{-1}$  به دلیل ارتعاش کششی O-H است. همچنین، نوار جذب واقع در  $2910\text{ cm}^{-1}$  به ارتعاش کششی C-H مربوط می‌شود و یک نوار جذب ارتعاشی در  $1658\text{ cm}^{-1}$

## 14. Delocalized

است [۲۲]. برای تعیین بهینه مقدار آلایش نقاط کوانتومی با نیتروژن، ابتدا مقادیر مختلفی از اوره در فرایند ساخت به کار گرفته شد و پس از آنالیز مربوط به میزان تولید  $O_2^+$  و  $OH^-$ ، سایر آنالیزهای ساختارشناسی برروی نمونه‌های ساخته شده با بهینه مقدار اوره انجام گرفت.

در اینجا، توانایی تولید  $O_2$ -GQDs تحت تابش نور مرئی (توسط یک دیود ساطع کننده نور سفید (LED) با توان ۱۰ وات) مورد بررسی قرار گرفت. بدین منظور، ۰/۹ میلی لیتر از هر یک از محلول‌های آبی N-GQDs با مقادیر مختلف اوره به طور جداگانه با ۰/۲ میلی لیتر محلول آنتراسن در اتانول ترکیب شدند pH تمامی محلول‌ها با افزون نaOH حدود ۷/۴ تنظیم شد) و سپس به مدت ۳۰ دقیقه در مععرض نور مرئی قرار گرفتند. پس از تابش، جذب محلول آنتراسن در حضور N-GQDs با ثبت طیف UV-vis اندازه‌گیری شد (شکل ۴ الف). کاهش شدت جذب آنتراسن پس از ۳۰ دقیقه تابش در حضور N-GQDs با ۰/۰۶، ۰/۱۲، ۰/۰۸ و ۰/۱۸ گرم اوره، با محاسبه مساحت زیر نمودارهای UV-vis قبل و بعد از تابش نور، به ترتیب حدود ۸، ۱۲ و ۳۷ درصد اندازه‌گیری شد. همان‌طور که شکل نشان می‌دهد میزان کاهش شدت جذب آنتراسن با افزایش مقدار اوره (آلایش نیتروژن) افزایش می‌یابد و برای N-GQDs با ۰/۱۸ گرم اوره بیشترین میزان کاهش شدت جذب (که متناسب با بیشترین میزان تولید  $O_2^+$  می‌باشد) مشاهده می‌شود. نتایج به دست آمده توانایی بیشتر نقاط کوانتومی گرافن آلاتیده‌شده با نیتروژن در تولید  $O_2$  در مقایسه با نقاط کوانتومی گرافن بدون آلایش با نتیروژن تحت تابش نور مرئی را نشان می‌دهد.

علاوه بر این، توانایی تولید OH<sup>-</sup> توسط N-GQDs تحت تابش نور مرئی با استفاده از متیلن بلو مورد بررسی قرار گرفت. متیلن بلو به عنوان یک معرف برای به دام انداختن رادیکال OH<sup>-</sup> استفاده شد، به طوری که کاهش شدت جذب متیلن بلو در حضور N-GQDs پس از پرتودهی به عنوان شاخص تولید رادیکال OH<sup>-</sup> در نظر گرفته شد [۲۳]. بدین منظور، ۱/۲ میلی لیتر از هر یک از محلول‌های آبی N-GQDs با مقادیر مختلف اوره به طور جداگانه به ۰/۶ میلی لیتر محلول آبی متیلن بلو اضافه شد تمامی محلول‌ها با افزودن NaOH حدود ۷/۴ تنظیم شد، سپس pH به مدت ۳۰ دقیقه با نور مرئی تحت تابش قرار گرفت و درنهایت، جذب محلول متیلن بلو در حضور N-GQDs اندازه‌گیری شد. کاهش شدت جذب متیلن بلو پس از ۳۰ دقیقه تابش در حضور N-GQDs با ۰/۰۶ و ۰/۰۱۲ گرم اوره، به ترتیب حدود ۹، ۱۹، ۲۸ و ۴۶ اندازه‌گیری شد. همان‌طور که شکل ۴ (ب) نشان می‌دهد در این مورد نیز، کاهش شدت جذب متیلن بلو به میزان آلایش با نیتروژن (مقدار اوره بستگی دارد و N-GQDs با بیشترین مقدار اوره ۰/۰۱۸ گرم) بیشترین میزان کاهش شدت جذب را نشان می‌دهد. این نتیجه بیانگر این است که میزان کاهش شدت جذب را نشان می‌دهد. این نتیجه بیانگر این است که توانایی تولید OH<sup>-</sup> مربوط به مقدار اوره مورد استفاده در هنگام تهییه N-GQDs وابسته است. بدین ترتیب با توجه به نتایج حاصل مقدار بهینه اوره برای تهییه N-GQDs ۰/۱۸ گرم به دست آمد که منجر

وجود دارد که به پیوند C=O در گروه کربوکسیل تعلق دارد، در حالی که نوارهای مشاهده شده در  $1572\text{ cm}^{-1}$  و  $1289\text{ cm}^{-1}$ ، به ترتیب به ارتعاشات خمثی C=C و C-O نسبت داده می‌شوند. علاوه بر این حضور نوارهای جذب در  $1380\text{ cm}^{-1}$  و  $3211\text{ cm}^{-1}$  که به ترتیب مربوط به ارتعاشات خمثی N-H و C-N است، آلایش موفق نیتروژن در شبکه نقاط کوانتمی گرافن را تأیید می‌کند [۲۶].

تصویر میکروسکوپ الکترونی روبشی گسیل میدانی (FESEM) و توزیع اندازه مربوطه در شکل ۵ (ج) نشان داده شده است. نانوذرات کروی شکل دارای توزیع اندازه در محدوده  $16\text{--}8\text{ nm}$  و متوسط اندازه  $12\text{ nm}$  هستند. تصویر میکروسکوپ الکترونی عبوری (TEM) نیز نشان می‌دهد که N-GQDs دارای اندازه در محدوده  $4\text{--}14\text{ nm}$  هستند (شکل ۵ (د)). N-GQDs همچنین مورفولوژی اندازه  $9\text{ nm}$  هستند (شکل ۵ (د)). مشابه با تصویر FESEM، ترکیب عنصری N-GQDs توسط طیفسنجی تفکیک انرژی پرتو ایکس (EDX) بررسی شد. شکل ۵ (ه)، حضور عناصر O, C، N را در ترکیب N-GQDs نشان می‌دهد. نتایج نشان دهنده حضور  $20/27$  درصد نیتروژن در نمونه است که ساخت موفقیت‌آمیز نقاط کوانتمی گرافن آلاییده شده با نیتروژن را تأیید می‌کند.

### نتیجه‌گیری

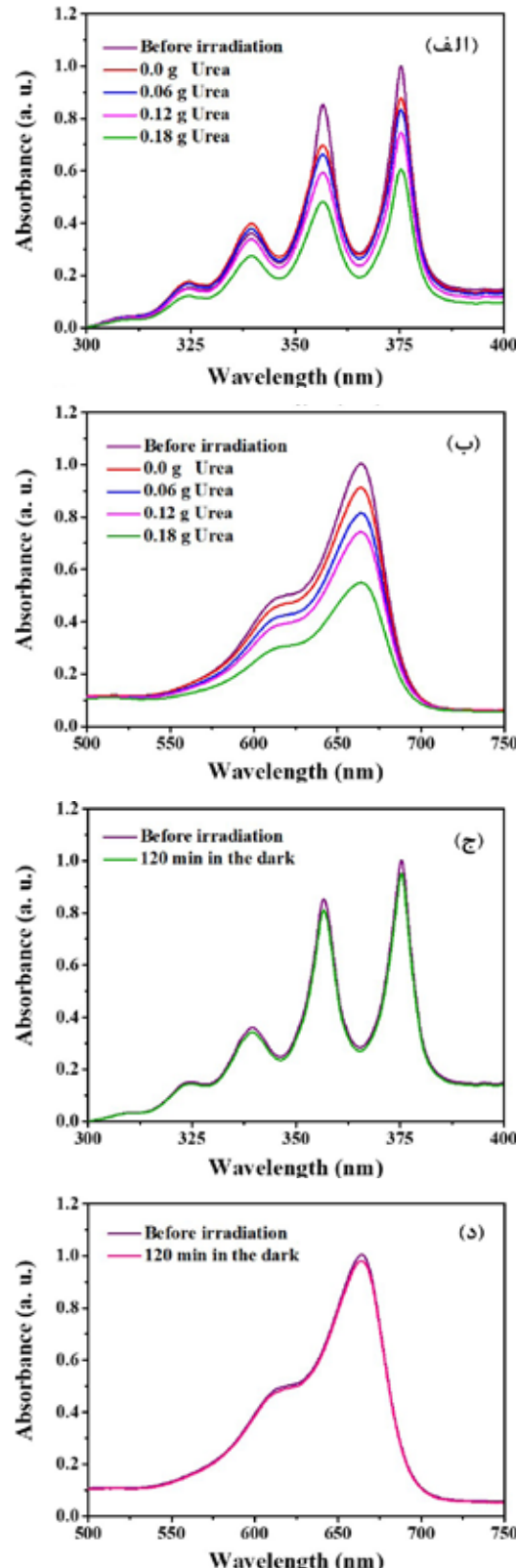
نقاط کوانتمی گرافن آلاییده شده با نیتروژن با استفاده از اسید سیتریک و اوره توسط روش هیدروترمال تهیه شد. نتایج نشان داد که آلایش نقاط کوانتمی گرافن با نیتروژن، منجر به افزایش تولید  $\text{O}_2^+$  و  $\text{OH}^-$  می‌شود که می‌توان آن را به جذب گسترده، کاهش شکاف انرژی N-GQDs و کاهش بازترکیب الکترون-حفره‌های نوری تولید شده در N-GQDs نسبت داد. بنابراین، با توجه به توانایی تولید ROS بالا و عدم سمیت در تاریکی N-GQDs، می‌توان از آن به عنوان حساس‌کننده نوری کارآمد در درمان سلول‌های سرطانی در درمان فوتودینامیکی استفاده کرد.

### تشکر و قدردانی

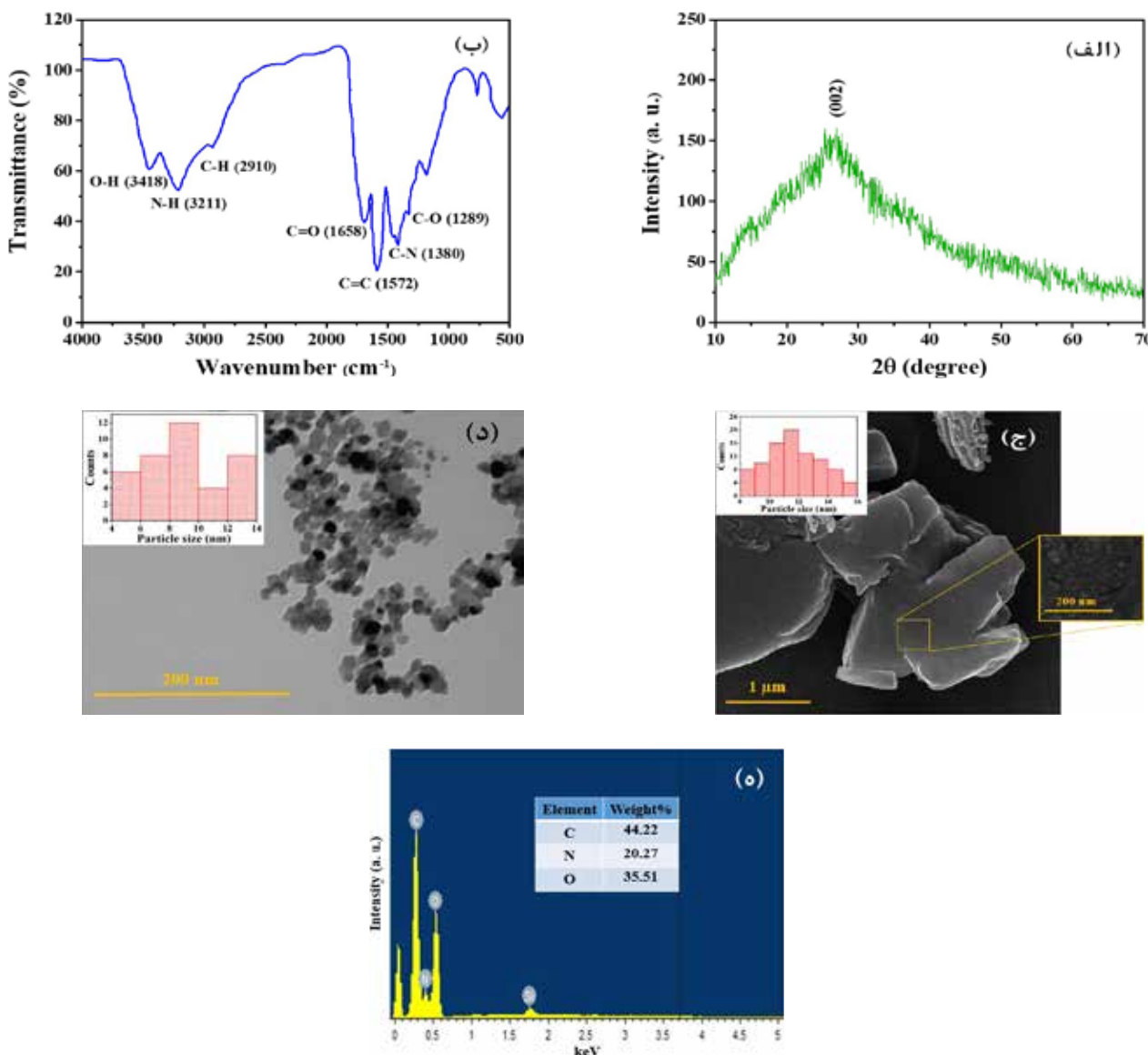
تشکر و سپاس فراوان از تمامی اساتید محترم دانشگاه کاشان که در انجام این تحقیق ما را همراهی کردند.

### سهم نویسندها

همه نویسندها در طراحی و تحلیل نتایج این مطالعه مشارکت داشتند و نسخه نهایی مقاله توسط کلیه نویسندها مورد تأیید قرار گرفته است.



شکل ۴. طیف جذب محلول N-GQDs تهیه شده با مقادیر مختلف اوره تحت تابش نور مرئی به مدت  $30\text{ min}$  در حضور الک. آنتراسن، ب. متیلن‌بلو، ج. طیف جذب محلول N-GQDs تهیه شده با  $18/10\text{ g}$  اوره بعد از  $120\text{ min}$  قرار گرفتن در تاریکی (بدون تابش نور) در حضور آنتراسن و د. متیلن‌بلو.



شکل ۵. الف. الگوی XRD. ب. طیفسنجی FTIR. ج. تصویر FESEM. د. تصویر TEM. ه. توزیع حجمی گرانولاریتی EDX نقاط کوانتومی گرافن آلانیده شده با نیتروژن با ۱۸٪ گرم اوره.

25. Wei, B., Dong, F., Yang, W., Luo, C., Dong, Q., Zhou, Z., ... & Sheng, L. (2020). Synthesis of carbon-dots, SiO<sub>2</sub>, TiO<sub>2</sub> nanoplatform for photothermal imaging induced multimodal synergistic antitumor. *Journal of Advanced Research*, 23, 13-23.

26. Van Tam, T., Trung, N. B., Kim, H. R., Chung, J. S., & Choi, W. M. (2014). One-pot synthesis of N-doped graphene quantum dots as a fluorescent sensing platform for Fe<sup>3+</sup> ions detection. *Sensors and Actuators B: Chemical*, 202, 568-573.

## References:

1. Sadeghi, E., Mahmoodian, Z., & Zahedifar, M. (2019). Synthesis of nanoparticles of ZnS: Ag-L-cysteine-protoporphyrin IX conjugates and investigation its potential of reactive oxygen species production. *Journal of fluorescence*, 29, 1089-1101.
2. Ge, J., Lan, M., Zhou, B., Liu, W., Guo, L., Wang, H., ... & Han, X. (2014). A graphene quantum dot photodynamic therapy agent with high singlet oxygen generation. *Nature communications*, 5(1), 4596.
3. Wu, F., Yue, L., Su, H., Wang, K., Yang, L., & Zhu, X. (2018). Carbon dots platinum porphyrin composite as theranostic nanoagent for efficient photodynamic cancer therapy. *Nanoscale research letters*, 13, 1-10.
4. Zahedifar, M., Sadeghi, E., Shanei, M. M., Sazgarnia, A., & Mehrabi, M. (2016). Afterglow properties of CaF<sub>2</sub>: Tm nanoparticles and its potential application in photodynamic therapy. *Journal of Luminescence*, 171, 254-258.
5. Du, D., Wang, K., Wen, Y., Li, Y., & Li, Y. Y. (2016). Photodynamic graphene quantum dot: reduction condition regulated photoactivity and size dependent efficacy. *ACS applied materials & interfaces*, 8(5), 3287-3294.
6. Huis in 't Veld, R. V., Heuts, J., Ma, S., Cruz, L. J., Ossendorp, F. A., & Jager, M. J. (2023). Current challenges and opportunities of photodynamic therapy against cancer. *Pharmaceutics*, 15(2), 330.
7. Lucky, S. S., Soo, K. C., & Zhang, Y. (2015). Nanoparticles in photodynamic therapy. *Chemical reviews*, 115(4), 1990-2042.
8. Huang, Z. (2005). A review of progress in clinical photodynamic therapy. *Technology in cancer research & treatment*, 4(3), 283-293.
9. Saraiva, A. L., Vieira, T. N., Notário, A. F. O., Luiz, J. P. M., Silva, C. R., Goulart, L. R., ... & Espindola, F. S. (2022). CdSe magic-sized quantum dots attenuate reactive oxygen species generated by neutrophils and macrophages with implications in experimental arthritis. *Nanomedicine: Nanotechnology, Biology and Medicine*, 42, 102539.
10. Markovic, Z. M., Ristic, B. Z., Arsikin, K. M., Klisic, D. G., Harhaji-Trajkovic, L. M., Todorovic-Markovic, B. M., ... & Trajkovic, V. S. (2012). Graphene quantum dots as autophagy-inducing photodynamic agents. *Biomaterials*, 33(29), 7084-7092.
11. Kumar, P., Dhand, C., Dwivedi, N., Singh, S., Khan, R., Verma, S., ... & Srivastava, A. K. (2022). Graphene quantum dots: A contemporary perspective on scope, opportunities, and sustainability. *Renewable and Sustainable Energy Reviews*, 157, 111993.
12. Zhang, Z., Zhang, J., Chen, N., & Qu, L. (2012). Graphene quantum dots: an emerging material for energy-related applications and beyond. *Energy & Environmental Science*, 5(10), 8869-8890.
13. Li, L., Wu, G., Yang, G., Peng, J., Zhao, J., & Zhu, J. J. (2013). Focusing on luminescent graphene quantum dots: current status and future perspectives. *Nanoscale*, 5(10), 4015-4039.
14. Nozaki, T., Kakuda, T., Pottathara, Y. B., & Kawasaki, H. (2019). A nanocomposite of N-doped carbon dots with gold nanoparticles for visible light active photosensitisers. *Photochemical & Photobiological Sciences*, 18, 1235-1241.
15. Li, L. L., Ji, J., Fei, R., Wang, C. Z., Lu, Q., Zhang, J. R., ... & Zhu, J. J. (2012). A facile microwave avenue to electrochemiluminescent two-color graphene quantum dots. *Advanced Functional Materials*, 22(14), 2971-2979.
16. Shafee, M., Goharshadi, E. K., Mashreghi, M., & Sadeghinia, M. (2018). TiO<sub>2</sub> nanoparticles and TiO<sub>2</sub> graphene quantum dots nanocomposites as effective visible/solar light photocatalysts. *Journal of Photochemistry and Photobiology A: Chemistry*, 357, 90-102.
17. Sun, X., Li, H. J., Ou, N., Lyu, B., Gui, B., Tian, S., ... & Yang, J. (2019). Visible-light driven TiO<sub>2</sub> photocatalyst coated with graphene quantum dots of tunable nitrogen doping. *Molecules*, 24(2), 344.
18. Sun, X., Liu, Z., Welsher, K., Robinson, J. T., Goodwin, A., Zaric, S., & Dai, H. (2008). Nano-graphene oxide for cellular imaging and drug delivery. *Nano research*, 1, 203-212.
19. Luo, Z., Vora, P. M., Mele, E. J., Johnson, A. T., & Kikkawa, J. M. (2009). Photoluminescence and band gap modulation in graphene oxide. *Applied physics letters*, 94(11).
20. Peter, I. J., Rajamanickam, N., Vijaya, S., Anandan, S., Ramachandran, K., & Nithiananthi, P. (2020). TiO<sub>2</sub>/Graphene Quantum Dots core-shell based photo anodes with TTIP treatment-A perspective way of enhancing the short circuit current. *Solar Energy Materials and Solar Cells*, 205, 110239.
21. Mojgan, R., Ehsan, S., & Mostafa, Z. (2024). High photoluminescence and afterglow emission of nitrogen-doped graphene quantum dots/TiO<sub>2</sub> nanocomposite for use as a photodynamic therapy photosensitizer. *Applied Physics A*, 130(3), 144.
22. Roeinfard, M., Zahedifar, M., Darroudi, M., Khorsand Zak, A., & Sadeghi, E. (2021). Synthesis of graphene quantum dots decorated with Se, Eu and Ag as photosensitizer and study of their potential to use in photodynamic therapy. *Journal of Fluorescence*, 31, 551-557.
23. Tavakkoli, F., Zahedifar, M., & Sadeghi, E. (2018). Effect of LaF<sub>3</sub>: Ag fluorescent nanoparticles on photodynamic efficiency and cytotoxicity of Protoporphyrin IX photosensitizer. *Photodiagnosis and photodynamic therapy*, 21, 306-311.
24. Dejpasand, M. T., Saievar-Iranizad, E., Bayat, A., Montaghemi, A., & Ardekani, S. R. (2020). Tuning HOMO and LUMO of three region (UV, Vis and IR) photoluminescent nitrogen doped graphene quantum dots for photodegradation of methylene blue. *Materials Research Bulletin*, 128, 110886.